

СИНТЕЗ НАБЛЮДАТЕЛЯ СОСТОЯНИЯ СИСТЕМЫ РЕГУЛИРОВАНИЯ СКОРОСТИ С ПРЯМЫМ ЦИФРОВЫМ УПРАВЛЕНИЕМ

Коцегуб П. Х., Губарь Ю. В., Мариничев В. Ю.

Каф. ЭВМ, ЭАПУ ДонГТУ

gubar@cs.dgtu.donetsk.ua

Abstract

Kotsegub P.H., Gubar Y.V., Marinichev V.Y. Synthesis of the observer of a state of a regulating system of speed with a direct numerical control. The technique of synthesis is developed and are defined a structure and parameters of the digital observer of a state of the third order for a regulating system of speed with a direct numerical control and gauge of average value of speed. The researches confirming a regularity of obtained designed parities(ratio) are conducted.

В технике электропривода все большее внимание уделяется проблеме использования наблюдателей состояния для улучшения динамических и статических характеристик систем управления. При этом рассматриваются в основном непрерывные системы управления [1]. В настоящей статье рассматривается построение цифрового наблюдателя состояния (ЦНС) для системы с прямым цифровым управлением и обсуждаются вопросы дальнейшего его применения.

Одна из возможных систем регулирования скорости (СРС) двигателя постоянного тока с прямым цифровым управлением представлена на рис. 1. Вентильный преобразователь (ВП) на схеме представлен в виде идеального импульсного элемента с коэффициентом усиления по напряжению K_{II} . На схеме не учтена обратная связь по ЭДС двигателя, что допустимо при анализе и синтезе приводов большинства механизмов.

В системе возможно замыкание по мгновенному (передаточная функция датчика скорости (ДС) $D_{\Delta}(p) = 1$) и по среднему за период измерения T значениям скорости $\omega_{\Delta p}$ с передаточной функцией ДС равной

$$D_{\Delta}(p) = \frac{1 - e^{-Tp}}{Tp} = \frac{z - 1}{zTp},$$

где $z = e^{Tp}$.

В контуре тока (КРТ) осуществляется замыкание по среднему значению тока I_{CP} . В каждом контуре регулирования содержится свой регулятор: тока с передаточной функцией $D_i(z)$ и скорости с передаточной функцией $D_{\omega}(z)$. Без нарушения общности коэффициенты обратных связей по току и скорости приняты равными единице.

Преобразуем силовую часть системы с целью исключения смешанной формы (z и p) обозначения дискретных и непрерывных сигналов. С этой целью воспользуемся схемой, представленной на рис. 2,а. В соответствии с этой схемой можно выделить следующие дискретные передаточные функции:

$$\frac{I_{CP}(z)}{U_{PT}(z)} = Z \left\{ \frac{K_{II} T}{T_{Я} p + 1} \cdot \frac{z - 1}{zTp} \right\} = \frac{K_{II}}{R_{Я}} \cdot \frac{1 - d_1}{z - d_1}; \quad (1)$$

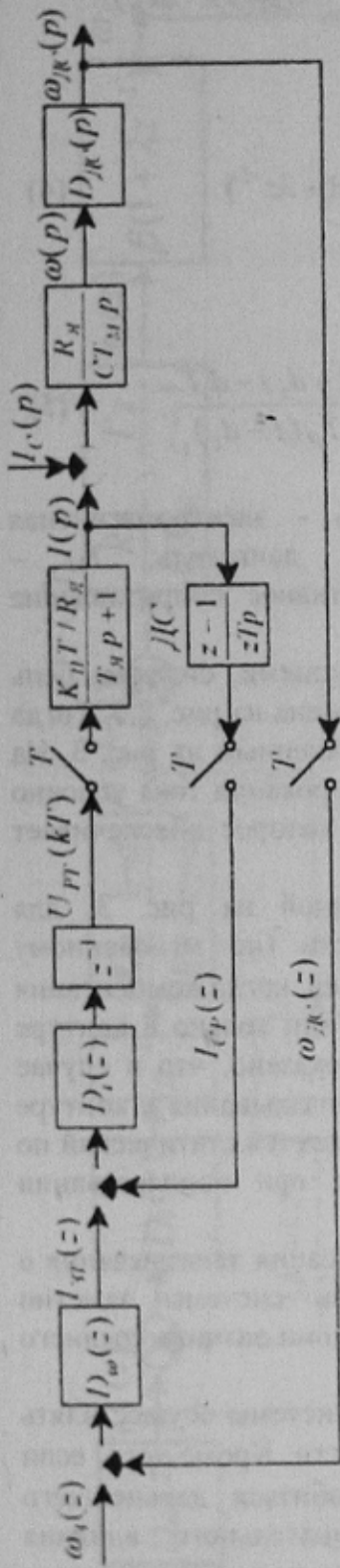


Рисунок 1 – Структурная схема контура регулирования скорости

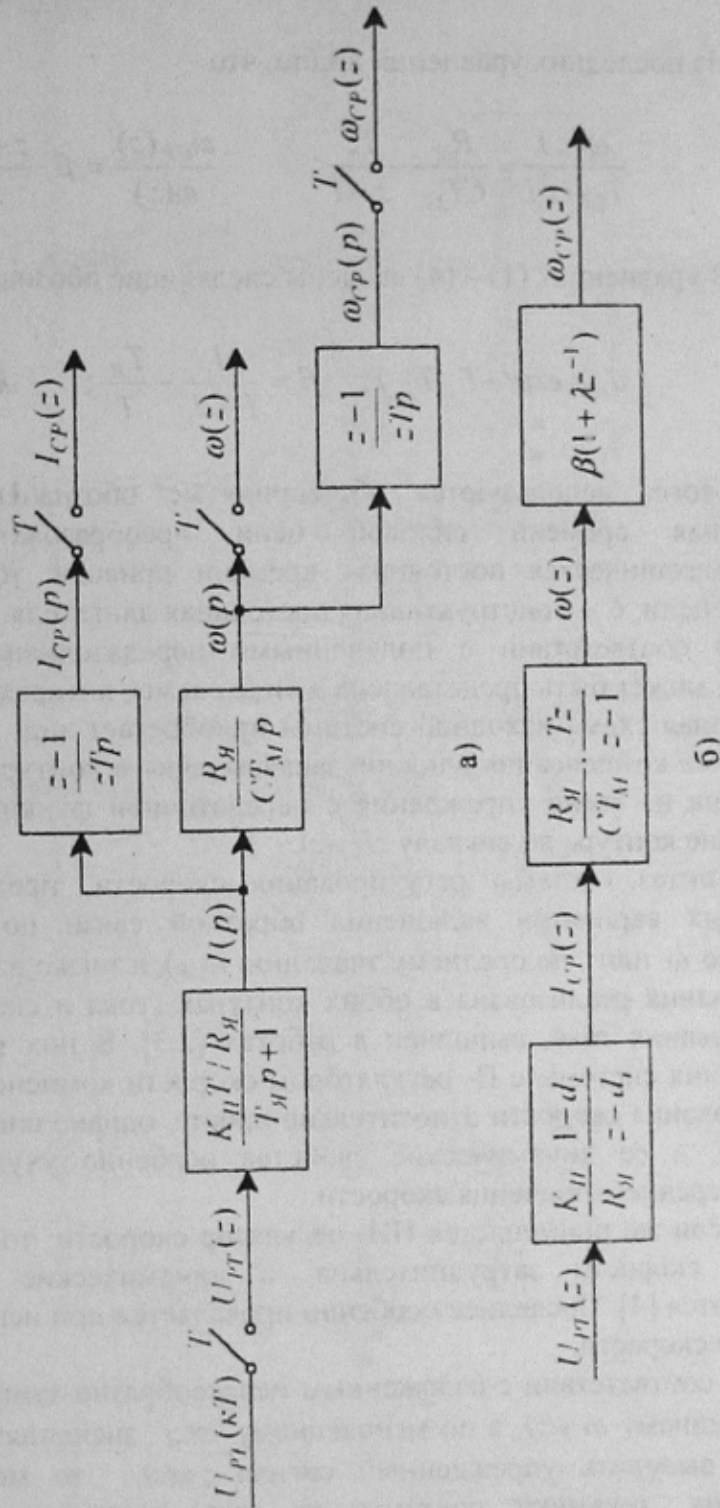


Рисунок 2 – Исходная (а) и преобразованная (б) схемы силовой цепи

$$\frac{\omega(z)}{U_{PT}(z)} = Z \left\{ \frac{K_{\Pi} T / R_{Я} \cdot R_{Я}}{T_{Я} p + 1 \cdot CT_{M} p} \right\} = \frac{K_{\Pi} \cdot (1 - d_i) \cdot R_{Я} \cdot Tz}{R_{Я} \cdot z - d_i \cdot CT_{M} \cdot z - 1} = \frac{I_{CP}(z)}{U_{PT}(z)} \cdot \frac{\omega(z)}{I_{CP}(z)}; \quad (2)$$

$$\frac{\omega_{CP}(z)}{U_{PT}(z)} = Z \left\{ \frac{K_{\Pi} T \cdot R_{Я} \cdot R_{Я} \cdot z - 1}{T_{Я} p + 1 \cdot CT_{M} p \cdot z T p} \right\} = \frac{K_{\Pi} \cdot (1 - d_i) \cdot R_{Я} \cdot Tz}{R_{Я} \cdot z - d_i \cdot CT_{M} \cdot z - 1} \cdot \beta \cdot \frac{z + \lambda}{z} = \frac{\omega(z)}{U_{PT}(z)} \cdot \frac{\omega_{CP}(z)}{\omega(z)}; \quad (3)$$

Из последних уравнений видно, что

$$\frac{\omega(z)}{I_{CP}(z)} = \frac{R_{Я} \cdot Tz}{CT_{M} \cdot z - 1}; \quad \frac{\omega_{CP}(z)}{\omega(z)} = \beta \cdot \frac{z + \lambda}{z} = \beta(1 + \lambda z^{-1}). \quad (4)$$

В уравнениях (1) – (4) введены следующие обозначения:

$$d_i = \exp(-T / T_{Я}); \quad \beta = \frac{1}{1 - d_i} - \frac{T_{Я}}{T}; \quad \lambda = \frac{T_{Я}(1 - d_i) - d_i T}{T - T_{Я}(1 - d_i)}. \quad (5)$$

Кроме того, используются общепринятые обозначения: $T_{Я}$ – электромагнитная постоянная времени силовой цепи преобразователь – двигатель; T_{M} – электромеханическая постоянная времени привода; $R_{Я}$ – активное сопротивление силовой цепи; C – конструктивная постоянная двигателя.

В соответствии с полученными передаточными функциями силовая цепь системы может быть представлена в виде схемы, которая изображена на рис. 2,б. Тогда структурная схема исходной системы приобретает вид, представленный на рис. 3. На этой схеме компенсация влияния запаздывания в контуре регулирования тока условно возложена на звено упреждения с передаточной функцией z , которое обеспечивает замыкание контура по сигналу $zI_{CP}(z)$.

Синтез системы регулирования скорости, представленной на рис. 3, для различных вариантов включения обратной связи по скорости (по мгновенному значению ω или по среднему значению ω_{CP}), а также для случаев, когда компенсация запаздывания реализована в обоих контурах (тока и скорости) или только в контуре регулирования тока, выполнен в работах [2,3]. В них также показано, что в случае применения системы с П- регулятором скорости компенсация запаздывания в контуре регулирования скорости относительно проста, однако система является статической по нагрузке, а ее динамические свойства особенно ухудшаются при использовании датчика среднего значения скорости.

Если же применяется ПИ- регулятор скорости, то компенсация запаздывания в контуре скорости затруднительна, а динамические свойства системы заметно ухудшаются [4]. Последнее особенно проявляется при использовании датчика среднего значения скорости.

В соответствии с изложенным целесообразно замыкание системы осуществлять не по среднему $\omega_{CP}(z)$, а по мгновенному $\omega(z)$ значениям скорости. Кроме того, если удастся выделить упрежденный сигнал $z\omega(z)$, то можно добиться дальнейшего улучшения динамики системы за счет компенсации отрицательного влияния запаздывания в контуре скорости на динамические свойства системы вне зависимости от типа регулятора скорости.

Наиболее целесообразно решение поставленной задачи возложить на наблюдатель состояния. При этом возможно также использование последнего и для построения астатической по нагрузке системы не только с ПИ- регулятором, но и с П-

регулятором скорости [5]. С этой целью необходимо помимо сигналов $\omega(z)$ и $z\omega(z)$ наблюдать сигналы $I_{CP}(z)$ и $zI_{CP}(z)$.

Построение наблюдателя выполним в предположении, что передаточная функция идеализированного регулятора тока (т. е. без учета запаздывания в контуре) равна

$$D_i(z) = \frac{R_{Я}}{K_{П}} \cdot \frac{1 - d_{Ж}}{1 - d_i} \cdot \frac{z - d_i}{z - 1} \tag{6}$$

В случае компенсации запаздывания в КРТ передаточная функция последнего (рассматривается случай непрерывного тока) приобретает вид

$$K_{КРТ}(z) = \frac{I_{CP}(z)}{I_{ЯT}(z)} = \frac{1 - d_{Ж}}{z - d_{Ж}} \cdot z^{-1}, \tag{7}$$

а переходная функция КРТ отстает на один такт от функции

$$h(kT) = I_{CP}(kT) = 1 - e^{-\gamma k}, \tag{8}$$

имеющей место в контуре, когда запаздывание в нем отсутствует. Последнее эквивалентно тому, что запаздывание на такт как бы вынесено из контура тока в контур скорости. В уравнениях (7) и (8) $d_{Ж} = \exp(-\gamma)$, $\gamma = T / T_{Ж}$, $T_{Ж}$ – желаемая постоянная времени экспоненты. Обычно $\gamma = 1, 2, 3$. Чем больше величина γ , тем более быстродействующим является контур тока.

Модель объекта в наблюдателе будем представлять в предположении, что нагрузка отсутствует, а выходом контура регулирования тока является сигнал $zI_{CP}(z)$, который связан с заданием $I_{ЯT}(z)$ передаточной функцией

$$\frac{zI_{CP}(z)}{I_{ЯT}(z)} = \frac{1 - d_{Ж}}{z - d_{Ж}}, \tag{9}$$

а с мгновенным значением скорости соотношением

$$\omega(z) = \frac{R_{Я}}{CT_M} \cdot \frac{T}{z - 1} \cdot zI_{CP}(z). \tag{10}$$

Примем в качестве координат состояния $X_1(kT) = \beta\lambda\omega(kT - 1T)$, $X_2(kT) = \omega(kT)$, $X_3(kT) = I_{CP}(kT - 1T)$, а в качестве сигнала, по которому восстанавливаются наблюдаемые координаты – среднее значение скорости $\omega_{CP}(kT) = X_1(kT) + \beta X_2(kT)$. Если в качестве управления использовать выход регулятора скорости (сигнал задания тока $I_{ЯT}$), то развернутая схема цифрового наблюдателя примет вид, представленный на рис. 3.

Уравнение ЦНС в векторно – матричной форме можно записать в виде

$$\hat{X}(kT + 1T) = [A_H - LC_H] \cdot \hat{X}(kT) + B_H I_{ЯT}(kT) + L\omega_{CP}(kT), \tag{11}$$

где

$$A_H = \begin{bmatrix} 0 & \beta\lambda & 0 \\ 0 & 1 & \frac{R_{ЯT}}{CT_M} \\ 0 & 0 & d_{Ж} \end{bmatrix}; \quad L = \begin{bmatrix} \ell_1 \\ \ell_2 \\ \ell_3 \end{bmatrix}; \quad C_H = [1 \quad \beta \quad 0]; \quad B_H = 1 - d_{Ж}; \quad (12)$$

$\hat{X} = [\hat{X}_1 \quad \hat{X}_2 \quad \hat{X}_3]$ - вектор состояния наблюдателя.

Задача синтеза ЦНС состоит в определении коэффициентов обратных связей ℓ_1, ℓ_2, ℓ_3 . Это осуществляется из условия, что характеристический полином ЦНС

$$G(z) = \det |zI - A_H + LC_H| \quad (13)$$

или знаменатель передаточной функции ЦНС

$$K_{НС}(z) = \frac{\hat{\omega}_{СР}(z)}{I_{ЗТ}(z)} = \frac{H(z)}{G(z)} = \frac{(1-d_{Ж})R_{ЯT}/CT_M \cdot \beta(z+\lambda)}{G(z)}, \quad (14)$$

который равен

$$G(z) = z^3 - (1+d_{Ж} - \ell_1 - \ell_2\beta)z^2 + (d_{Ж} - \ell_1(1+d_{Ж}) + \ell_2\beta(\lambda - d_{Ж}) + \ell_3^*)z - (\ell_2\beta d_{Ж}\lambda - \ell_1 d_{Ж} - \ell_3^*), \quad (15)$$

совпадает с желаемым полиномом $G_{Ж}(z)$. В (13) и (15) обозначены I - единичная матрица; $\ell_3^* = (\ell_3 R_{ЯT} \beta) / (CT_M)$.

В качестве желаемого полинома $G_{Ж}(z)$ принимается

$$G_{Ж}(z) = \prod_{i=1}^n (z - z_i) = z^n + a_{n-1}z^{n-1} + \dots + a_1z + a_0. \quad (16)$$

где n - порядок наблюдателя состояния; z_i ($i=1,2,\dots,n$) - желаемое распределение полюсов передаточной функции наблюдателя.

С целью использования большого опыта применения распределения полюсов при синтезе и анализе непрерывных систем управления целесообразно желаемое распределение полюсов дискретной передаточной функции принять равным

$$z_i = e^{p_i T}, \quad (17)$$

где p_i ($i=1,2,\dots,n$) - желаемое распределение полюсов передаточной функции непрерывной системы.

Если, например, принять в качестве желаемого распределение Баттерворта третьего порядка, то

$$p_{1,2} = -0,5\Omega_H \pm 0,866\Omega_H, \quad p_3 = -\Omega_H \quad (18)$$

и, соответственно,

$$z_{1,2} = \exp(-0,5\Omega_H T \pm 0,866\Omega_H T), \quad z_3 = \exp(-\Omega_H T). \quad (19)$$

Тогда желаемый полином

$$G_{\mathcal{K}}(z) = z^3 - a_2 z^2 + a_1 z - a_0, \quad (20)$$

где $a_0 = \exp(-2\Omega_H T)$;

$$a_1 = (1 + \cos(0,866\Omega_H T) \cdot 2 \exp(-0,5\Omega_H T)) \cdot \exp(-\Omega_H T);$$

$$a_2 = 2 \cos(0,866\Omega_H T) \cdot \exp(-0,5\Omega_H T) + \exp(-\Omega_H T);$$

Ω_H - собственная частота наблюдателя, определяющая его быстродействие.

Частоту наблюдателя Ω_H обычно выбирают в $2 \div 3$ раза больше собственной частоты объекта Ω_0 .

Приравнивая выражения при одинаковых степенях оператора z полиномов $G(z)$ и $G_{\mathcal{K}}(z)$, находим коэффициенты ℓ_1, ℓ_2 и ℓ_3 :

$$\left. \begin{aligned} \ell_1 &= -\frac{a_1 + a_0 - d_{\mathcal{K}} - (1 + d_{\mathcal{K}} - a_2)(d_{\mathcal{K}}\lambda + \lambda - d_{\mathcal{K}})}{(1 + \lambda)(1 + d_{\mathcal{K}})}; \\ \ell_2 &= \frac{1 + d_{\mathcal{K}} - a_2 - \ell_1}{\beta}; \\ \ell_3^* &= -a_0 + d_{\mathcal{K}}(\ell_2\beta\lambda - \ell_1); \quad \ell_3 = \ell_3^* \frac{CT_M}{R_{\mathcal{A}}T\beta}. \end{aligned} \right\} \quad (21)$$

Если принять $a_0 = a_1 = a_2 = 0$, то говорят о синтезе ЦНС из условия конечной длительности переходного процесса.

На рис. 4 приведены реакции среднего значения скорости $\hat{\omega}_{cp}(nT)$ наблюдателя на единичный скачок задания I_{37} при синтезе ЦНС, исходя из распределения Баттерворта (а) и конечной длительности переходных процессов (б), подтверждающие правильность основных расчетных соотношений - перерегулирование в переходной функции соответствует 8% (фильтр Баттерворта), переходный процесс заканчивается за три такта (конечная длительность). Переходные процессы сняты при следующих параметрах: $T = 0,0033$ с; $d_{\mathcal{K}} = 0,36$; $\Omega_H = 600$ с⁻¹; $\lambda = 1$; $\beta = 0,5$. Величины $T_M, R_{\mathcal{A}}$ и C условно приняты равными единице.

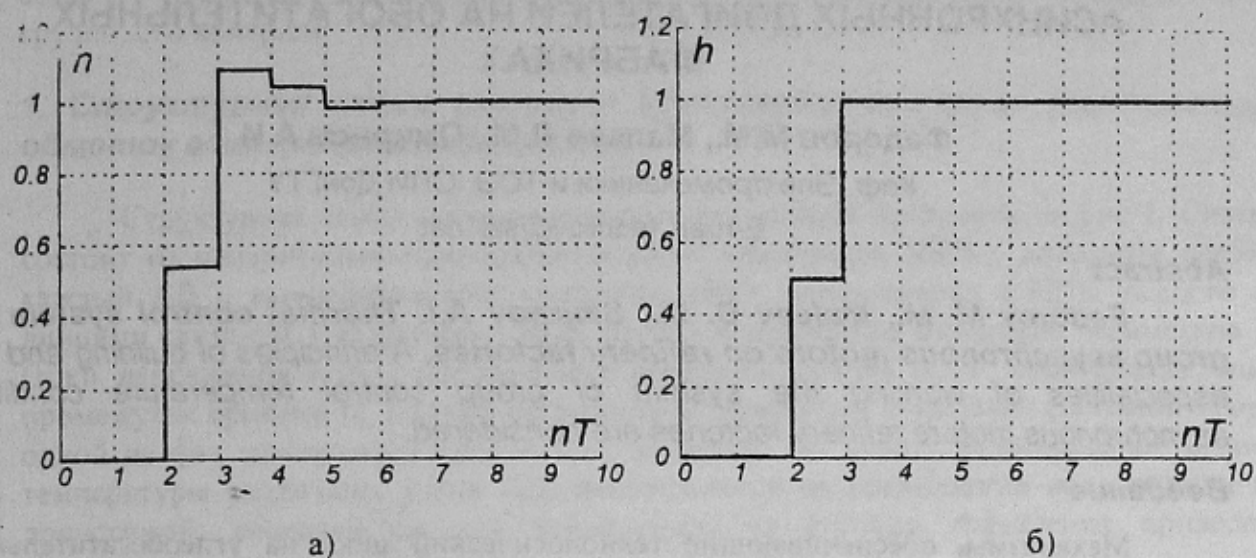


Рисунок 4 – Графики переходных функций в ЦНС:

а) – распределение Баттерворта; б) – конечная длительность переходного процесса.

Выводы

1. Разработана методика синтеза и определены структура и параметры цифрового наблюдателя состояния третьего порядка для системы регулирования скорости с прямым цифровым управлением и датчиком среднего значения скорости.
2. Проведены исследования, подтверждающие правильность полученных расчетных соотношений.

Литература

1. Акимов Л. В., Долбня В. Т., Колотило В. И. Системы управления электроприводами постоянного тока с наблюдателями состояния. – Харьков: ХГПУ, 1998. – 117 с.
2. Коцегуб П. Х., Баринберг В. А. Синтез однократноинтегрирующей цифровой системы подчиненного регулирования электропривода с двумя периодами квантования. – Известия вузов. Электромеханика, 1991, № 2. – С.51-58.
3. Коцегуб П. Х., Баринберг В. А. Синтез двукратноинтегрирующей системы подчиненного регулирования электропривода с двумя периодами квантования. – Известия вузов. Электромеханика, 1991, № 9. – С.11-17.
4. Коцегуб П. Х., Минтус А. Н. Особенности реализации импульсной коррекции запаздывания в цифровых астатических по возмущающему воздействию системах регулирования скорости. – Проблемы автоматизированного электропривода. Теория и практика: Вестник ХГПУ. Специальный выпуск. – Харьков: ХГПУ, 1998. – С. 73-74.
5. Коцегуб П. Х., Толочко О. И., Воронцов Д. В., Коломиец С. В. Упрощенный наблюдатель состояния систем подчиненного регулирования постоянного тока. – Сб. науч. тр-ов ДонГТУ. Серия "Электротехника и энергетика", вып. 4 – Донецк: ДонГТУ, 1999. – С. 36-41.